

神戸大学工学部 正員 藤井 学

§1. まえがき

PCケルバー桁ヒンジ部の応力へのハンチの大きさ、PC鋼材の作用位置、支承反力の集中度等の影響を調べ、すでに提案したひびわれ荷重計算式より一般化することを目的とする。応力計算は平面応力として有限要素法によるものであり、計45ケースにつき計算を行なった。

§2. 研究方法

初ひびわれが通常ハンチの隅角部(図-1のB, C)から生ずるため、これら近傍の三角形有限要素に注目し、これらに生ずる、反力R, PC鋼材(P_1, P_2, P_3)による主応力の代数和がコンクリートの曲げ強度を1倍になつたときに初ひびわれが発生するものと仮定してひびわれ荷重計算式を求めようとするものである。その際、計算式に一般性をもたすため、各外力に対し、基準応力および応力集中係数を求めておく必要があり、これが本研究の主眼点でもある。

今回はハンチの大きさ $a' \times b' = 3 \times 3, 4 \times 4$ より $6 \times 6\text{cm}$ の3種に対する、R, P_1, P_2, P_{3A}, P_{3C} の影響を調べた。さらにRについてはその集中度(省の大きさ), $P_{3A}(\theta=90^\circ)$ の作用位置 l_3 の影響等を調べた。

§3. 基準応力

a) 支承反力Rの場合(引張)

この場合の基準応力として通常のはり理論による曲げ応力 σ_{Ro} を用いるものとする。

$$\begin{aligned} B\text{美: } \sigma_{Ro} &= 6R(l_b + a')/b(l_1 + b')^2 \\ C\text{美: } \sigma_{Ro} &= 6Rl_R/bh^2, \quad b = \text{供試体中} \end{aligned} \quad \dots (1)$$

b) 水平PC鋼材 P_2 の場合(引張)

$$B, C\text{美: } \sigma_{P_2} = P_2/bh, \quad h = \text{供試体全高} \quad \dots (2)$$

c) 傾斜PC鋼材 P_1 (P_1, P_3) の場合(圧縮)

$$B, C\text{美: } \sigma_{P_1} = \frac{P_1}{b(f+e)} (1 + 3\frac{f-e}{f+e}) (0.6 + 0.4\frac{f}{e}) \quad \dots (3)$$

$$\Rightarrow 10 = f = f_0/(f+e), \text{ 記号: 図-2 参照} \quad \dots (4)$$

(3)式の基準応力は実際応力の分布状況、St. Venantの原理、図-2の仮定を用いて求めたものである。すなわち、 P_{3A} 鋼材による端部最小主応力分布は図-3のようであり、 l_3 が小さい場合、 P_{3A} の作用点から少し離れた位置でヒークが現われるが、 l_3 が大きくなると、A美近傍には応力が発生していないであろう距離から応力が発生している。この傾向は、図-2の

仮定より、供試体の有効高を $e+f$ とし、これに偏心載荷の場合のL美の応力で現わすことができよう。 f が0の場合、 $f=f_0$ (4)式より)となり、応力の伝達方向が 45° (P_1 とのなす角)となる。偏心載荷の

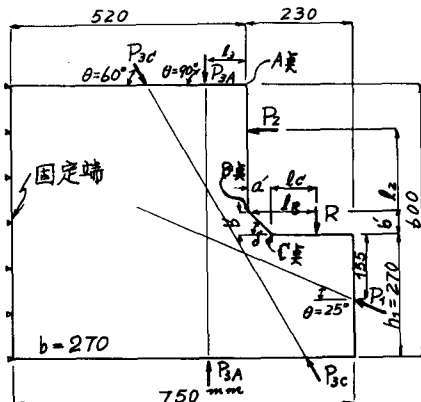
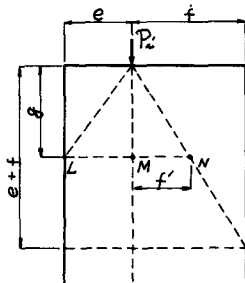


図-1 計算対象供試体

図-2 P_1 の基準応力算定時の仮定

場合の Δ 真の応力は、(3)式左边の第1, 2 項であり、第3項は実際応力に合わせたための係数で、(4)式での f' は、 $g \geq f + e$ の場合 $f' = f$ (St. Venant の原理を後退) とする。以上の後退を P_3 が柱軸と傾斜していふ場合にも適用し、B, C 真の基準応力とする。

3.4. 応力集中係数

以上のようにして求めた基準応力に対する、有限要素法によつて求めた主応力の比を応力集中係数と呼ぶことにし、各外力に対して B, C 真での応力集中係数として次式を得た。

a) 支承反力 R の場合

$$\left. \begin{aligned} B\text{真}: \alpha_R &= 8.86/1.05 + 1.01, \quad s = l_B/(h_1 + b') \\ C\text{真}: \alpha_R &= (\frac{8.66}{1.05} + 1.54)(\frac{0.24}{1.07} + 0.784), \end{aligned} \right\} \quad \dots (5)$$

$$s' = l_c/l_1, \quad \eta' = b'/h_1$$

b) 水平PC鋼筋柱 P_2 の場合

$$B\text{真}: \alpha_{P_2} = 1.35\beta + 0.46, \quad \dots (6)$$

$$\beta = l_2/h_2$$

c) 傾斜PC鋼筋柱 P_2 (P_1, P_3)

$$\left. \begin{aligned} B\text{真}: \alpha_{P_2} &= 2.31 e^{-0.353 \cdot |\tan(\phi - 30^\circ)|}, \\ C\text{真}: \alpha_{P_2} &= 2.96 e^{-1.14 \cdot |\tan \phi|} - 2.10 \times 10^{-2} (\phi + 20^\circ) (\eta' - 3/h_1)/\eta', \quad h_1: \text{cm} \end{aligned} \right\} \quad \phi = \theta - \delta \quad \dots (7)$$

以上の応力集中係数(5)～(7)式の説明について若干の説明を加える。まず支承反力 R が作用した場合、 α_R に影響をおよぼす要因として、 R 作用点からハンチ端までの距離 s , ハンチの大きさ a' , $b'(t)$, ハンチの傾斜度 ϕ (切欠き角 ω), ハンチ端の丸味 (切欠き底の半径 r) 等が考えられる。すなはち、 $\alpha_R = f(s, \eta, \omega, r)$ で表わされる。 α_R と s の関係は、 s が大きくなるほど α_R は小さくなるが如何が課められたので、(5)式のように $\alpha_R = (a/s) + b$ で表わした。外に $\alpha_R = ae^{-bs} + c$ と表わすことができる。 η' についても同様表示した。 ω は今回 $\omega = 135^\circ$ で一定であるのでその影響は考慮していない。また、今回は $r = 0$ としており、この場合 諸性論では $\alpha_R = \infty$ となるが、有限要素の応力は有限値であるため、その後の取扱いが容易である。次に P_2 の場合、 P_2 により B, C 真に引張応力が発生するが、その値は小さく、とくに C 真での引張応力の値は無視できる程度に小さい。 (6) 式から明るかなるように P_2 が近づいて P_2 を配置しない方が確しい。 P_3 の場合は、柱高方向鋼筋 P_3A の場合は、図-3から明るかなる如く l_3 が大きくなると補強効果は小さくなり、 $l_3 = h_2$ 程度では効果は皆無となる。 (7) 式から、補強効果はほゞ $\phi (= \theta - \delta)$ に關係しており、 η' も若干の影響を与える。

3.5. ひびわれ荷重計算式

3.2. 1 のべた後退を用いると、ハンチの B 真あるいは C 真でのひびわれ時の支承反力 R は次式より求めることができる。(8)式での $\bar{\alpha}_b$ はコンクリートの曲げ強度である。

$$\sum \alpha_{P_i} \bar{\alpha}_{P_i}^0 + k \bar{\alpha}_b \bar{\alpha}_{P_2}^0 - \alpha_R \bar{\alpha}_{P_0} = 0 \quad \dots (8)$$

(8)式で α の値の定め方は α 補^{*}での方法によればよいが、設計荷重算定期には $\alpha = 0$ とあれば、ハンチ部において θ フレーフレストレッシングとすることができる。

* 岡田・藤井、PCケルバーリング部の応力解析と補強法、土木学会関西支部講演概要、昭44.5

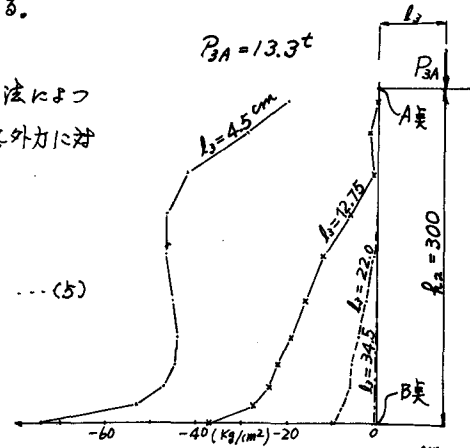


図-3 P_3A による端部最小主応力(ハシチ30cm)